

УДК 532.595.2

СХЛОПЫВАНИЕ ЭЛЛИПТИЧЕСКОЙ ПОЛОСТИ И ВОЗБУЖДЕНИЕ
ВЗРЫВА В СЛОЕ ЖИДКОСТИ ПРИ УДАРЕ

Э. И. Анидианкин, В. К. Боболев, А. В. Дубовик

(Москва)

Исследование динамики схлопывания пузырьков в слое жидкости посвящено много работ [1-9]. Эксперименты показывают, что первоначально круговая полость в процессе схлопывания из-за неустойчивости несколько смещается или превращается в эллиптическую, дальнейшее сжатие которой приводит к появлению кумулятивных струй.

Этот вопрос представляет интерес при изучении износа поверхностей в кавитирующем потоке [7] и при анализе чувствительности жидких взрывчатых веществ к удару [1-6]. Возникновение кумуляции удобно исследовать, если заранее сделать полость эллиптической или сместить круговую полость относительно оси удара, создавая тем самым несимметричное относительно ее центра поле давлений.

В работе приводятся некоторые теоретические соображения о характере возникновения кумулятивной струи в эллиптической или смещенной полости и ее влияние на возбуждение взрыва жидких ВВ за счет образования мелких капель [4] в адиабатически нагретом газе внутри полости. Полученные экспериментальные данные по времени образования струи и частоты взрывов нитроглицерина (НГЦ) качественно подтверждают теоретические предпосылки.

Рассмотрим осевой удар со скоростью $w_0 < 0$ несжимаемым эллиптическим ударником с полуосами A и B по тонкому слою несжимаемой вязкой жидкости $h_0 / A \ll 1$, содержащей в центре эллиптическую полость с полуосами a и b , но с тем же фокусным расстоянием, т. е.

$$A^2 - B^2 = a^2 - b^2 = c^2$$

Массу груза считаем много большей массы жидкости, так что сжатие слоя происходит с постоянной скоростью.

При малых числах Рейнольдса

$$\text{Re} = \rho u_0 A / \mu, \quad u_0 \sim w_0 A / h$$

движение жидкости в тонком слое описывается системой уравнений теории смазки, которая в эллиптических координатах запишется так:

$$\frac{1}{\mu H} \frac{\partial p}{\partial \alpha} = \frac{\partial^2 u_\alpha}{\partial z^2}, \quad \frac{1}{\mu H} \frac{\partial p}{\partial \beta} = \frac{\partial^2 u_\beta}{\partial z^2}, \quad \frac{\partial p}{\partial z} = 0 \quad (1)$$

$$\frac{\partial u_\alpha H}{\partial \alpha} + \frac{\partial u_\beta H}{\partial \beta} + H^2 \frac{\partial w}{\partial z} = 0, \quad H^2 = \frac{c^2}{2} (\text{ch } 2\alpha - \cos 2\beta) \quad (2)$$

Переменные α и β связаны с декартовыми координатами известными соотношениями

$$x = c \text{ch} \alpha \cos \beta, \quad y = c \text{sh} \alpha \sin \beta$$

Границными условиями для этих уравнений будут условия прилипания к твердым поверхностям

$$\begin{aligned} u_\alpha &= 0, \quad u_\beta = 0, \quad w = w_0 \quad \text{при} \quad z = h \\ u_\alpha &= 0, \quad u_\beta = 0, \quad w = 0 \quad \text{при} \quad z = 0 \end{aligned} \quad (3)$$

равенство нулю касательных напряжений $\sigma_{\alpha\beta} = 0$ на границах полости

$$\sigma_{\alpha\beta} = \mu \left(\frac{\partial u_\alpha / H}{\partial \beta} + \frac{\partial u_\beta / H}{\partial \alpha} \right)$$

и равенство нормальных напряжений $\sigma_{\alpha\alpha}$ давлению в газе

$$\begin{aligned}\sigma_{\alpha\alpha}(\alpha_0, \beta) &= -p_0, \quad \sigma_{\alpha\alpha}(\alpha_1, \beta) = -p_1 \\ \sigma_{\alpha\alpha} &= -p + 2\mu \left(\frac{1}{H} \frac{\partial u_\alpha}{\partial \alpha} + \frac{u_\beta}{H^2} \frac{\partial H}{\partial \beta} \right)\end{aligned}$$

Считая, однако, производные по α и β малыми, заменим эти требования приближенными условиями для давлений

$$\begin{aligned}p &= p_0 \quad \text{при } \alpha = \alpha_0 = \operatorname{Arch} a / c \\ p &= p_1 \quad \text{при } \alpha = \alpha_1 = \operatorname{Arch} A / c\end{aligned}\tag{4}$$

Выражая из (1) скорости через градиент давления, с учетом (3) найдем

$$u_\alpha = -\frac{\eta(1-\eta)h^2}{2\mu H} \frac{\partial p}{\partial \alpha}, \quad u_\beta = -\frac{\eta(1-\eta)h^2}{2\mu H} \frac{\partial p}{\partial \beta}, \quad \eta = \frac{z}{h} \tag{5}$$

Подставляя эти соотношения в уравнение неразрывности (2), получим

$$\frac{\partial^2 p}{\partial \alpha^2} + \frac{\partial^2 p}{\partial \beta^2} = -KH^2, \quad w = w_0 \eta^2 (3 - 2\eta), \quad K = \frac{12\mu |w_0|}{h^3} \tag{6}$$

Решение уравнения Пуассона для давления будем искать в виде

$$\begin{aligned}p &= p_1 + A_0 + B_0 \alpha + C_0 \operatorname{ch} 2(\alpha - \alpha_0) \cos 2\beta + D_0 \operatorname{ch} 2(\alpha - \alpha_1) \cos 2\beta \\ p_1 &= -\frac{1}{8} Kc^2 (\operatorname{ch} 2\alpha + \cos 2\beta)\end{aligned}$$

Выбирая константы A_0 , B_0 , C_0 и D_0 из условия (4) и учитывая независимость давления от β на границах слоя, найдем

$$\begin{aligned}p &= \frac{(\alpha_1 - \alpha) p_0 + (\alpha - \alpha_0) p_1}{\alpha_1 - \alpha_0} + \frac{Kc^2}{8} \frac{\alpha_1 \operatorname{ch} 2\alpha_0 - \alpha_0 \operatorname{ch} 2\alpha_1}{\alpha_1 - \alpha_0} + \\ &+ \frac{\alpha Kc^2}{8} \frac{\operatorname{ch} 2\alpha_1 - \operatorname{ch} 2\alpha_0}{\alpha_1 - \alpha_0} + \frac{Kc^2}{8} \frac{\operatorname{ch} 2(\alpha - \alpha_0) + \operatorname{ch} 2(\alpha - \alpha_1)}{1 + \operatorname{ch} 2(\alpha_1 - \alpha_0)} \cos 2\beta - \\ &- \frac{1}{8} Kc^2 (\operatorname{ch} 2\alpha + \cos 2\beta)\end{aligned}$$

На основании решений (5) и (7) можно проверить, что граничные условия для $\sigma_{\alpha\beta}$ и $\sigma_{\alpha\alpha}$ действительно приближенно выполняются уже на малых расстояниях, порядка h^2 / H , от границы, так как давление быстро стремится к максимуму $P_{max} \sim \mu u_{\alpha_0} H / h^2$. Малыми оказываются также и вторые производные $d^2 u_\alpha / \partial \beta^2$ и $d^2 u_\beta / \partial \beta^2$ по сравнению с производными по z всюду и при $\beta \rightarrow 0$. Решение (4), (7) удовлетворяет не только уравнению неразрывности, но и балансу массы

$$-\pi w_0 (AB - ab) = 4h \int_0^{\pi/2} [u_\alpha(\alpha_1, \beta) H(\alpha_1, \beta) - u_\alpha(\alpha_0, \beta) H(\alpha_0, \beta)] d\beta$$

который служил дополнительным условием для более полной задачи, содержащей вторые производные от скоростей по α и β .

Это свидетельствует о строгости полученного решения в рамках приближенной теории тонкого слоя.

Из решения (7) видно, что на внешней и внутренней границах слоя $\partial p / \partial \beta = 0$, а следовательно, при $\alpha = \alpha_0$ и $\alpha = \alpha_1$ тангенциальная со-

ставляющая скорости u_β также обращается в нуль. Изменение формы контура полости в первый момент происходит за счет нормальной составляющей u_α , которую следует осреднить по толщине слоя

$$U_\alpha = \frac{1}{h} \int_0^h u_\alpha dz = - \frac{h^2}{12\mu H} \frac{\partial P}{\partial z} \quad (8)$$

Если для последующих моментов времени форму контура представить в виде

$$\Phi = \alpha - \alpha_0 + \epsilon(\beta, t), \quad \Phi = 0$$

и взять от Φ полную производную по времени, то получим уравнение для границы полости

$$U_\alpha = U_\beta \frac{\partial \epsilon}{\partial \beta} + H \frac{\partial \epsilon}{\partial t} \quad (9)$$

Используя (5) и (6) при численных расчетах, задачу удобно свести к решению уравнения теплопроводности с фазовым переходом [10].

Из (7) и (8) видно, что скорость границы полости вдоль a больше, чем вдоль малой полуоси

$$|U_\alpha(\alpha_0, 0)| > |U_\alpha(\alpha_0, \pi/2)|$$

Это приводит к тому, что через некоторое время t_* вдоль большой полуоси полость «продавливается», постепенно образуя кумулятивную струю. Если приближенно считать $U_\alpha[\alpha(t), \beta] = \text{const}$ до момента продавливания, то время t_* легко оценить из условия образования точки перегиба в форме границы полости на оси $\beta = 0$ в виде $d^2\alpha / d\beta^2 = \text{cth } \alpha$.

Отсюда следует формула для оценки времени продавливания

$$\begin{aligned} \frac{\tau_0}{t_*} \sinh^2 \alpha_0 \sinh 2\alpha_0 &= \frac{\cosh^2 \alpha_1 - \cosh^2 \alpha_0}{\alpha_1 - \alpha_0} - (1 + 2 \sinh^2 \alpha_0) \operatorname{th}(\alpha_1 - \alpha_0) - \\ &- \sinh 2\alpha_0 - \frac{\delta (1 - p_1/p_0) \sinh^2 \alpha_0}{\alpha_1 - \alpha_0}, \quad \tau_0 = \frac{h}{|w_0|} \\ \delta &= \frac{\bar{p}_0 h^3}{3\mu b^2 |w_0|}, \quad \frac{p_1}{p_0} \approx \left(\frac{a_0 b_0 h_0}{ab} \right)^{\gamma} \end{aligned} \quad (10)$$

При вычислениях в (10) удобно использовать соотношения

$$\begin{aligned} \operatorname{cch} \alpha_0 &= a, \quad c \operatorname{sh} \alpha_0 = b, \quad \operatorname{cch} \alpha_1 = A, \quad \operatorname{csh} \alpha_1 = B \\ \operatorname{th}(\alpha_1 - \alpha_0) &= (aB - bA) / (Aa - Bb), \quad \alpha_1 - \alpha_0 = \ln(A + B) / (a + b) \end{aligned}$$

На фиг. 1 приведены фотографии процесса схлопывания эллиптической полости в нитроглицерине (НГЦ) для нескольких моментов времени. Условиями опыта были

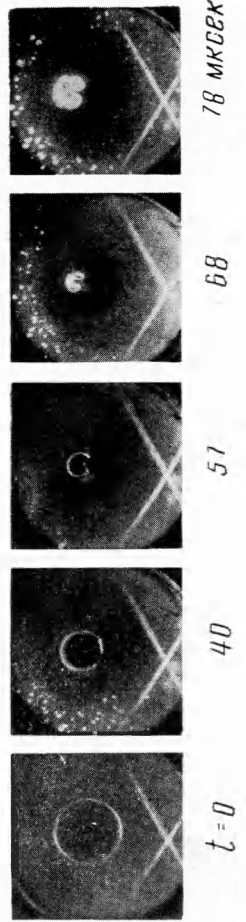
$$\begin{aligned} a &= 5.0 \text{ мм}, & b &= 2.65 \text{ мм}, & h &= 0.5 \text{ мм} \\ \mu &= 0.3 \text{ нэ}, & p_0 &= 1 \text{ атм}, & |w_0| &= 2.5 \text{ м/сек} \end{aligned}$$

В опытах применялся ударник в виде кругового цилиндра $R = 9.5 \text{ мм}$. Однако при $A \gg a$ и $B \gg b$ круг приближенно можно считать эллипсом, выбирая A и B из условия равенства площадей $AB = R^2$, так как в этом случае длины полуосей получаются близкими к R .

На фиг. 1 сначала видно уплощение контура вдоль большой полуоси при $t = 25 \text{ мксек}$, затем при $t_* = 40 \text{ мксек}$ — продавливание и образование кумулятивной струи и, наконец, при $t = 55 \text{ мксек}$ — взрыв.



$t = 0$ 25 40 50 53 56 65 МКСВК
Фиг. 1

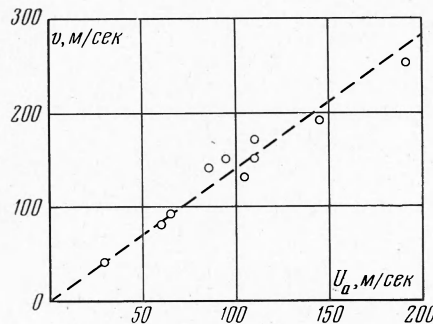


$t = 0$ 40 51 68 78 МКСВК
Фиг. 4

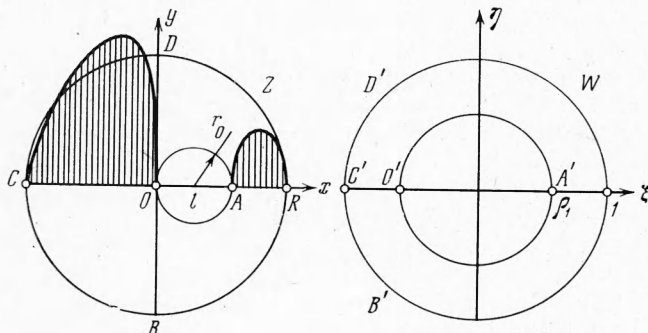
В экспериментах на покадровой съемке измерялось t_* — время образования кумулятивной струи. Для случаев $\alpha_0 = 0.68$, $\alpha_1 = 1.6$ и $\alpha_0 = 0.72$, $\alpha_1 = 1.6$ при $|w_0| = 1 \div 4$ м/сек безразмерные времена начала образования струй t_* / τ_0 оказались равными соответственно 0.19 и 0.148. Расчеты по формуле (10) дают значения $t_* / \tau_0 = 0.38$ и 0.26. В процессе схлопывания U_a возрастает, поэтому нижнюю границу t_* / τ_0 можно определить, подставляя в (10) α_0^* в момент продавливания. Такая коррекция при $\alpha_0^* = 0.54$ дает значения t_* / τ_0 соответственно 0.18 и 0.1, т. е. совпадение с опытом можно считать удовлетворительным.

В соответствии с теорией подобия [11] в формулу (10) не вошло число Рейнольдса, так как уравнения (1) и (2) не содержат плотности. Зависимость от Re появляется при учете инерционных членов [12]. Эксперимент также показывает слабую зависимость от Re .

На фиг. 2 приведены опытные данные по зависимости максимальной скорости струй V от скорости границы полости U_a вдоль оси a в момент продавливания. Условия опытов: $R = 9.5$ мм и разные $h_0 = 0.25 \div 1.0$ мм, $|w_0| = 1 \div 4$ м/сек, $2a = 7.5 \div 10$ мм и $2b = 4 \div 5$ мм.



Фиг. 2



Фиг. 3

Из фиг. 2 следует приближенная зависимость $V \approx 1.4U_a$. Используя (7) и (8), можно выразить отношение скоростей в момент продавливания и сравнить с экспериментом, который для случаев $\alpha_0 = 0.68$, $\alpha_1 = 1.6$ и $\alpha_0 = 0.72$, $\alpha_1 = 1.89$ дает значения U_a / U_b соответственно 1.9 и 2.0. Если считать, что в процессе схлопывания эллиптичность полости сохраняется, то в момент $t = t_*$ теория дает приближенно 1.4 и 1.55. В начальный момент времени значения U_a / U_b , вычисленные из (7) и (8), будут соответственно 1.25 и 1.40.

Рассмотрим теперь сдавливание круговой полости радиуса r_0 , смещенной на расстояние l относительно центра ударника. Отобразим двухсвязную область (фиг. 3) на каноническую [13,14] при помощи дробно-линейной функции

$$w = \frac{R - \omega z}{z - \omega R}, \quad \rho_1 = \frac{R - \omega(l + r_0)}{l + r_0 - \omega R}, \quad w = \xi + i\eta$$

$$2Rl\omega = R^2 + l^2 - r_0^2 + [(R^2 + l^2 - r_0^2)^2 - 4R^2l^2]^{1/2} \quad (11)$$

переводящей точки $z = \pm R$ и $z = l \pm r_0$ соответственно в точки $w = \pm 1$ и $w = \pm \rho_1$.

Задачу определения поля давлений

$$\begin{aligned} p &= P + p_1, \quad p_1 = -\frac{K}{4}(x^2 + y^2 - R^2), \quad \rho \frac{\partial}{\partial \rho} \rho \frac{\partial P}{\partial \rho} + \frac{\partial^2 P}{\partial \theta^2} = 0 \\ P(1, \theta) &= 0, \quad P(\rho_1, \theta) = \frac{1}{4}K(r_0^2 - l^2 - R^2 + 2lX), \quad K = \frac{12\mu|w_0|}{h^3} \\ X &= \frac{R(1 + \omega^2)}{2\omega} + \frac{R(1 - \omega^2)(\omega^2 - \rho_1^2)}{2\omega\rho_1^2(1 + \lambda^2 - 2\lambda \cos \theta)}, \quad \lambda = -\frac{\omega}{\rho_1} < -1 \\ \theta &= \arctan \eta/\xi, \quad \rho^2 = \xi^2 + \eta^2 \end{aligned}$$

решаем в рядах

$$\begin{aligned} \frac{4p}{K} &= R^2 - x^2 - y^2 + \left[\frac{2Rl}{\omega} + r_0^2 - l^2 - R^2 \right] \frac{\ln \frac{r_0}{\rho_1}}{\ln \rho_1} + \\ &\quad + \frac{2Rl(1 - \omega^2)}{\omega} \sum_{n=1}^{\infty} \frac{(-1)^n (\rho^n - \rho_1^{-n})}{\rho_1^n - \rho_1^{-n}} \left(\frac{\rho_1}{\omega} \right)^n \cos n\theta \\ \xi &= -\omega + \frac{R(1 - \omega^2)(x - \omega R)}{(x - \omega R)^2 + y^2}, \quad \eta = \frac{Ry(\omega^2 - 1)}{(x - \omega R)^2 + y^2}, \quad q = \ln \rho_1 \quad (12) \\ \frac{\partial p}{\partial x} \Big|_{\substack{x=l \pm r_0 \\ y=0}} &= -2(l \pm r_0) + \frac{[2lR + \omega(r_0^2 - l^2 - R^2)](1 - \omega^2)R}{\rho_1 \omega \ln \rho_1 (l \pm r_0 - \omega R)^2} + \\ &\quad + \frac{2lR^2(1 - \omega^2)^2}{\omega(l \pm r_0 - \omega R)^2} \sum_{n=1}^{\infty} \frac{(\mp 1)^n n \operatorname{cosech} qn}{\omega^n} \end{aligned}$$

Подстановка $\rho(x, y)$ и $\theta(x, y)$ в формулы (12) приводит к громоздкому выражению для определения p .

Однако для расчета p и $\operatorname{grad} p$ в характерных точках удобно непосредственно пользоваться (12), учитывая соответствие точек на плоскости z и w . Эпюра давлений в жидкости при смещенной полости качественно изображена на фиг. 3.

Из (12) следует, что $|\partial p / \partial x|_{-r_0} > (\partial p / \partial x)_{l+r_0}$, так что продавливание и образование кумулятивной струи начинается со стороны, близлежащей к центру ударника. Это понятно и физически, так как при отсутствии полости максимум давления находится в центре [15, 16].

На фиг. 4 приведены фотографии из покадровой съемки лупой времени процесса схлопывания смещенной полости. В условиях опыта $h = 0.5 \text{ мм}$, $r_0 = 3.5 \text{ мм}$, $R = 9.5 \text{ мм}$, $l = 1.3 \text{ мм}$.

Из фиг. 4 видно одностороннее продавливание полости при $t_* = -57 \text{ мксек}$ и снос ее по потоку. При $t = 68 \text{ мксек}$ происходит воспламенение НГЦ и взрыв.

Большинство опытов по исследованию чувствительности НГЦ к удару легко объяснить, если рассчитать по Иогансону [4] график температуры поверхности полости в зависимости от отношения массы сгоревших капель m_+ к массе газа в полости m_0 , учитывая при этом зависимость m_+ от массы и скорости кумулятивной струи.

В соответствии с достигаемой в экспериментах степенью сжатия полости $\sigma = h_0 r_0^2 / h_* r_*^2 \approx 65$ была построена фиг. 5, на которой T_1 — температура сжатого газа с учетом охлаждения из-за прогревания капель, T_2 — температура после сгорания всех прогретых мелких капель массы m_+ , T_3 — температура жидкости на границе полости при этом, T_b (пунктир) — температура воспламенения, вычисленная для времени задержки взрыва 10^{-5} сек , что соответствует пролету капель через полость. Криевые T_1 и T_2 строились из соображений баланса энергии, а T_3 вычислялась

как температура на границе при соприкосновении двух по-разному нагретых полубесконечных тел

$$\frac{T_1}{T_0} = \frac{c_0 m_0 \sigma^{\gamma-1} + c_+ m_+}{c_0 m_0 + c_+ m_+}, \quad T_2 = T_1 + \frac{Q m_+}{(m_0 + m_+) c_p}$$

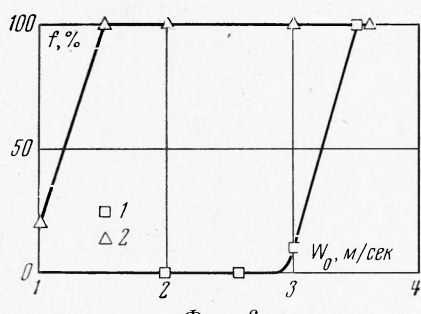
$$\frac{T_3}{T_0} = \frac{1 + \alpha T_2 / T_0}{1 + \alpha}, \quad \alpha^2 = (\lambda c \rho)_1 / (\lambda c \rho)_0, \quad T^* = \frac{T}{T_0}$$

Здесь Q — теплота реакции, $\gamma = 1.3$ — показатель адиабаты, c — теплоемкость, λ — коэффициент теплопроводности, индекс 1 относится к продуктам взрыва. Из фиг. 5 следует, что при малом количестве капель температура на стенке полости близка к температуре, которая определяется теплопроводностью от адиабатически нагретого газа, и при степенях сжатия ≤ 6.5 взрыва не происходит. При относительно большом количестве капель температура самого газа в полости T_1 падает ниже температуры воспламенения жидкости. Поэтому оптимальным для развития взрыва является участок кривой $0.4 \leq \frac{m_+}{m_0} \leq 1.8$.

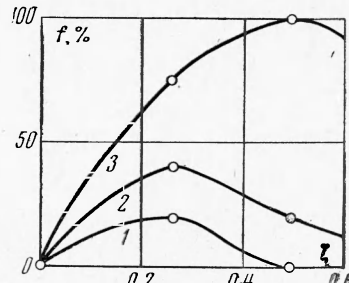
Из соображений подобия [11] следует, что спектр капель характеризуется сложной зависимостью

$$m_+ = h r_+^2 \rho_+ F \left(\frac{d_0}{h}, \frac{\rho_0 d_0 V^2}{\sigma_0}, \frac{\rho_+ V d_0}{\mu}, \frac{r_+}{h}, \Omega \right)$$

где m_+ — масса капель жидкости от молекулярных размеров (пары) до текущего диаметра d_0 , Ω — угол удара кумулятивной струи о жидкость



Фиг. 6



Фиг. 7

на границе полости, σ_0 — поверхностное натяжение. Так как вид функции F неизвестен, для оценки d_0 можно использовать критерий Вебера $\rho_0 V^2 d_0 / \sigma_0 \lesssim 10$, из которого следует, что наблюдавшийся в опытах при $\rho_0 \approx 10^{-2} \text{ г/см}^3$, $\sigma_0 = 50 \text{ дин/см}$, $V = 10^4 \text{ см/сек}$ максимальный диаметр капель был $d_0 \lesssim 5 \cdot 10^{-4} \text{ см}$. Такие капли успевали прогреваться за время пролета полости $t_+ \approx 2r_+ / V$, так как при $r_+ \approx 0.1 \text{ см}$ и коэффициенте температуропроводности НГЦ $\kappa \sim 10^{-3} \text{ см}^2/\text{сек}$ время прогрева $d_0^2 / \pi^2 \kappa \lesssim t_+$.

На фиг. 6 приведены результаты опытов по сравнению частоты взрывов с центральной круговой полостью ($r_0 = 2.5 \text{ мм}$, $R = 9.5 \text{ мм}$, $h_0 =$

**

$= 0.5 \text{ мм}$) — кривая 1 — и эллиптической с тем же начальным объемом $hab = h_0 r_0^2$ и $a \approx 2b$ — кривая 2. Видно резкое увеличение частоты взрывов, которое происходит за счет усиления кумуляции и, следовательно, возрастания m_+ / m_0 (см. фиг. 5).

На фиг. 7 приведен график частоты взрывов при круговой полости тех же размеров, что и на фигуре 6, в зависимости от смещения $\xi = l / R$ ее центра для разных скоростей удара $|w_0| = 2, 2.5$ и 3 м/сек (соответственно кривые 1, 2 и 3). Увеличение ξ , приводящее к возрастанию скорости кумулятивной струи, сначала увеличивает частоту взрывов, но потом наблюдается падение f с ростом ξ , что объясняется наблюдавшимся в экспериментах вымыванием пузырьков за пределы ударника.

В заключение заметим, что местный разогрев жидкости за фронтом ударной волны при внедрении кумулятивной струи мал.

Считая для оценки всю внутреннюю энергию за фронтом волны тепловой $\Delta T < (u + V)^2 / 8c_v$, для стандартных условий опытов, когда $u + V \lesssim 300 \text{ м/сек}$, $c_v \approx 0.2 \text{ кал/г·град}$, получим повышение температуры порядка 10° .

Покажем, что вязкий разогрев жидкости на контакте полости с поверхностью ударника также не приводит к воспламенению. Из решения [9] о сдавливании кругового слоя вязкой жидкости найдем, что градиент скорости

$$\frac{\partial u}{\partial z} = \frac{3w_0R}{h^3}(2z - h) \frac{y \ln \xi + 1 - \xi}{V_y \ln \xi}, \quad h = h_0 \frac{1 + \beta \ln \beta - \beta}{1 + \xi \ln \xi - \xi}$$

$$\xi = \frac{r_+^2}{R^2} < 1, \quad \beta = \frac{r_0^2}{R^2}, \quad y = \frac{r^2}{R^2} \quad (13)$$

максимален при $z = 0$ и $z = h$ в точках $y = 1$ и $y = \xi$, причем $(\partial u / \partial z)_{y=1} < (\partial u / \partial z)_{y=\xi}$.

Максимальное повышение температуры без учета теплопроводности определяется диссипацией энергии.

$$\rho c_p \frac{\partial T}{\partial t} = \mu \left(\frac{\partial u}{\partial z} \right)_{y=\xi}^2, \quad \frac{\partial T}{\partial t} = w_0 \frac{\partial T}{\partial h} \frac{\partial h}{\partial \xi}$$

Учитывая (13), найдем

$$\Delta T = \frac{E}{(1 + \beta \ln \beta - \beta)^3} \int_{\beta}^{\xi} \frac{(1 + \xi \ln \xi - \xi)^4}{\xi \ln \xi} d\xi \quad (14)$$

$$E = 9\mu w_0 R^2 / \rho c_p h_0^3$$

Так как $-1 < \xi \ln \xi - \xi < 0$, то, мажорируя подынтегральное выражение (14), получаем

$$\Delta T \leq \frac{E}{(1 + \beta \ln \beta - \beta)^3} \ln \frac{\ln \beta}{\ln \xi}$$

т. е. за счет вязкости температура в жидкости возрастает очень медленно и для характерных условий опытов ($\beta = 0.25$, $\xi = 4 \cdot 10^{-3}$) составляет около 20° .

Поступила 30 XI 1970

ЛИТЕРАТУРА

- Боуден Ф. П., Иоффе А. Д. Быстрые реакции в твердых веществах. М., Изд-во иностр. лит., 1962.
- Забабахин Е. И. Кумуляция энергии и ее границы. Усп. физ. н., 1965, т. 85, вып. 4, стр. 721.

3. С о л о у х и н Р. И. О пузырьковом механизме ударного воспламенения в жидкости. Докл. АН СССР, 1961, т. 136, № 2.
4. J o h a n s s o n C. H. The initiation of liquid explosives by shock and the importance of liquid break up. Proc. Roy. Soc., Ser. A, 1958, vol. 246, No. 1245.
5. J o h a n s s o n C. H., S e l b e r g H. L. The ignition mechanism of high explosives. Appl. Sci. Res., Ser. A, 1956, vol. 5, No. 6.
6. Б о б о л е в В. К., Д у б о в и к А. В. Кумулятивные струи при схлопывании ударом полостей в тонких слоях жидкостей. ПМТФ, 1970, № 2.
7. І к о р н ф е л ь д М. И. Упругость и прочность жидкостей. М.—Л., Гостехтеоретиздат, 1951.
8. Л а в р е н т'ев М. А. Кумулятивный заряд и принципы его работы. Усп. матем. н., 1957, т. 12, вып. 4, стр. 76.
9. А н д р и а н к и н Э. И., Б о б о л е в В. К., Д у б о в и к А. В. Схлопывание цилиндрической полости в слое жидкости при ударе. ПМТФ, 1970, № 6.
10. Т и х о н о в А. Н., С а м а р с к и й А. А. Уравнения математической физики. М., Гостехтеоретиздат, 1953.
11. С е д о в Л. И. Методы подобия и размерности в механике. М., «Наука», 1965.
12. А н д р и а н к и н Э. И. Растворение вязкой капли при ударе. ПМТФ, 1966, № 5, стр. 142.
13. Л а в р е н т'ев М. А., Ш а б а т Б. В. Методы теории функций комплексного переменного. М., Физматгиз, 1958.
14. К е л д ыш М. В. Конформное отображение многосвязных областей на канонические области. Усп. матем. н., 1939, вып. 6, стр. 90.
15. П о к р о в с к и й Г. И. Взрыв. М., «Недра», 1964.
16. К е д р и н с к и й В. К., С о л о у х и н Р. И. Сжатие сферической газовой полости в воде ударной волной. ПМТФ, 1961, № 1, стр. 27.